

Искусственные нейронные сети

К. В. Воронцов

vokov@forecsys.ru

Этот курс доступен на странице вики-ресурса

<http://www.MachineLearning.ru/wiki>

«Машинное обучение (курс лекций, К.В.Воронцов)»

9 апреля 2018

1 Метод обратного распространения ошибок

- Многослойные нейронные сети
- Алгоритм BackProp
- Эвристики для алгоритма BackProp

2 Эвристики для глубоких нейронных сетей

- Градиентные методы оптимизации
- Методы регуляризации
- Функции активации и другие эвристики

3 Архитектуры глубоких нейронных сетей

- Свёрточные нейронные сети
- Рекуррентные нейронные сети

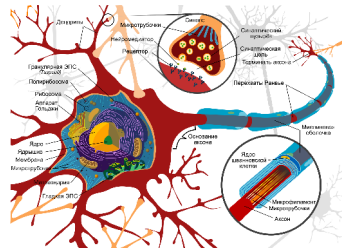
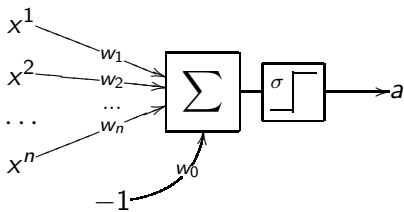
Напоминание: линейная модель нейрона МакКаллока-Питтса

$f_j: X \rightarrow \mathbb{R}$, $j = 1, \dots, n$ — числовые признаки;

$$a(x, w) = \sigma(\langle w, x \rangle) = \sigma\left(\sum_{j=1}^n w_j f_j(x) - w_0\right),$$

где $w_0, w_1, \dots, w_n \in \mathbb{R}$ — веса признаков;

$\sigma(z)$ — функция активации, например, $\text{sign}(z)$, $\frac{1}{1+e^{-z}}$, $(z)_+$



Линейные методы классификации и регрессии

Задача классификации: $Y = \{\pm 1\}$, $a(x, w) = \text{sign}(\langle w, x_i \rangle)$;

$\mathcal{L}(M)$ — невозрастающая функция отступа, например,

$\mathcal{L}(M) = \ln(1 + e^{-M})$, $(1 - M)_+$, e^{-M} , $\frac{1}{1+e^M}$, и др.

$$Q(w; X^\ell) = \sum_{i=1}^{\ell} \mathcal{L}\left(\underbrace{\langle w, x_i \rangle}_{M_i(w)} y_i\right) \rightarrow \min_w;$$

Задача регрессии: $Y = \mathbb{R}$, $a(x, w) = \sigma(\langle w, x_i \rangle)$;

$$Q(w; X^\ell) = \sum_{i=1}^{\ell} (\sigma(\langle w, x_i \rangle) - y_i)^2 \rightarrow \min_w;$$

**Насколько богатый класс функций реализуется нейроном?
А сетью (суперпозицией) нейронов?**

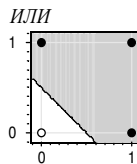
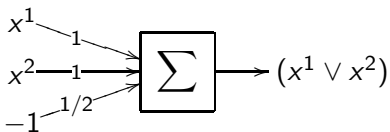
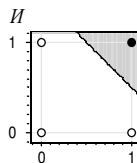
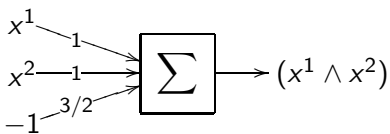
Нейронная реализация логических функций

Функции И, ИЛИ, НЕ от бинарных переменных x^1 и x^2 :

$$x^1 \wedge x^2 = [x^1 + x^2 - \frac{3}{2} > 0];$$

$$x^1 \vee x^2 = [x^1 + x^2 - \frac{1}{2} > 0];$$

$$\neg x^1 = [-x^1 + \frac{1}{2} > 0];$$



Логическая функция XOR (исключающее ИЛИ)

Функция $x^1 \oplus x^2 = [x^1 \neq x^2]$ не реализуема одним нейроном.

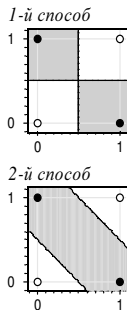
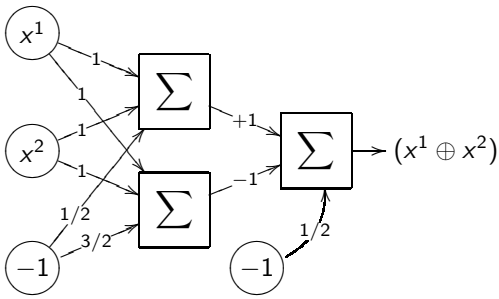
Два способа реализации:

- Добавлением нелинейного признака:

$$x^1 \oplus x^2 = [x^1 + x^2 - 2x^1x^2 - \frac{1}{2} > 0];$$

- Сетью (двухслойной суперпозицией) функций И, ИЛИ, НЕ:

$$x^1 \oplus x^2 = [(x^1 \vee x^2) - (x^1 \wedge x^2) - \frac{1}{2} > 0].$$



Любую ли функцию можно представить нейросетью?

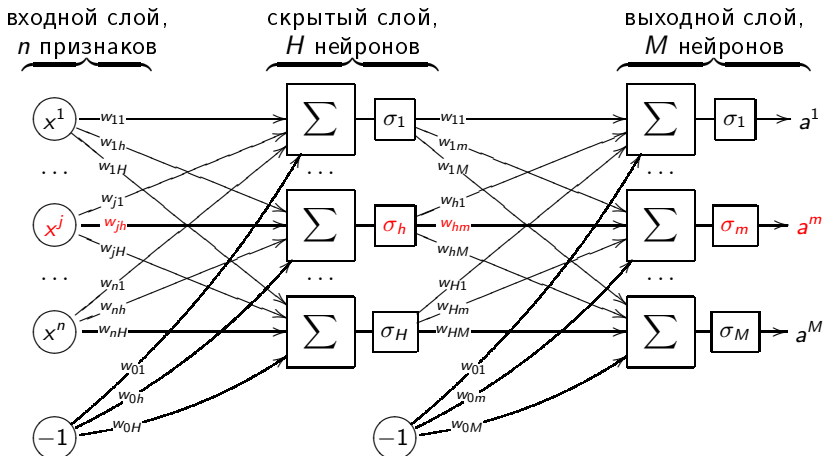
- Двухслойная сеть в $\{0, 1\}^n$ позволяет реализовать произвольную булеву функцию (ДНФ).
- Двухслойная сеть в \mathbb{R}^n позволяет отделить произвольный выпуклый многогранник.
- Трёхслойная сеть \mathbb{R}^n позволяет отделить произвольную многогранную область, не обязательно выпуклую, и даже не обязательно связную.
- С помощью линейных операций и одной нелинейной функции активации σ можно приблизить любую непрерывную функцию с любой желаемой точностью.

Практические рекомендации:

- Двух-трёх слоёв теоретически достаточно.
- Глубокие сети — это встроенное обучение признаков.

Двухслойная нейронная сеть

Пусть для общности $Y = \mathbb{R}^M$, для простоты слоёв только два.



Вектор параметров модели $w \equiv (w_{jh}, w_{hm}) \in \mathbb{R}^{Hn+H+MH+M}$.

Напоминание: Алгоритм SG (Stochastic Gradient)

Минимизация средних потерь на обучающей выборке:

$$Q(w) := \frac{1}{\ell} \sum_{i=1}^{\ell} \mathcal{L}_i(w) \rightarrow \min_w .$$

Вход: выборка X^ℓ ; темп обучения η ; параметр λ ;

Выход: вектор весов $w \equiv (w_{jh}, w_{hm})$;

- 1: инициализировать веса w и текущую оценку $Q(w)$;
- 2: **повторять**
- 3: выбрать объект x_i из X^ℓ (например, случайно);
- 4: вычислить потерю $\mathcal{L}_i := \mathcal{L}_i(w)$;
- 5: градиентный шаг: $w := w - \eta \mathcal{L}'_i(w)$;
- 6: оценить значение функционала: $Q := (1 - \lambda)Q + \lambda \mathcal{L}_i$;
- 7: **пока** значение Q и/или веса w не стабилизируются;

Задача дифференцирования суперпозиции функций

Выходные значения сети $a^m(x_i)$, $m = 1..M$ на объекте x_i :

$$a^m(x_i) = \sigma_m \left(\sum_{h=0}^H w_{hm} u^h(x_i) \right); \quad u^h(x_i) = \sigma_h \left(\sum_{j=0}^J w_{jh} f_j(x_i) \right).$$

Пусть для конкретности $\mathcal{L}_i(w)$ — средний квадрат ошибки:

$$\mathcal{L}_i(w) = \frac{1}{2} \sum_{m=1}^M (a^m(x_i) - y_i^m)^2.$$

Промежуточная задача: найти частные производные

$$\frac{\partial \mathcal{L}_i(w)}{\partial a^m}; \quad \frac{\partial \mathcal{L}_i(w)}{\partial u^h}.$$

Быстрое вычисление градиента

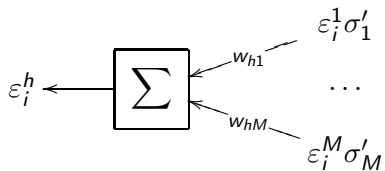
Промежуточная задача: частные производные

$$\frac{\partial \mathcal{L}_i(w)}{\partial a^m} = a^m(x_i) - y_i^m = \varepsilon_i^m$$

— это ошибка на выходном слое;

$$\frac{\partial \mathcal{L}_i(w)}{\partial u^h} = \sum_{m=1}^M (a^m(x_i) - y_i^m) \sigma'_m w_{hm} = \sum_{m=1}^M \varepsilon_i^m \sigma'_m w_{hm} = \varepsilon_i^h$$

— назовём это *ошибкой на скрытом слое*. Похоже, что ε_i^h вычисляется по ε_i^m , если запустить сеть «задом наперёд»:



Быстрое вычисление градиента

Теперь, имея частные производные $\mathcal{L}_i(w)$ по a^m и u^h ,
легко выписать градиент $\mathcal{L}_i(w)$ по весам w :

$$\frac{\partial \mathcal{L}_i(w)}{\partial w_{hm}} = \frac{\partial \mathcal{L}_i(w)}{\partial a^m} \frac{\partial a^m}{\partial w_{hm}} = \varepsilon_i^m \sigma'_m u^h(x_i), \quad m = 1..M, \quad h = 0..H;$$

$$\frac{\partial \mathcal{L}_i(w)}{\partial w_{jh}} = \frac{\partial \mathcal{L}_i(w)}{\partial u^h} \frac{\partial u^h}{\partial w_{jh}} = \varepsilon_i^h \sigma'_h f_j(x_i), \quad h = 1..H, \quad j = 0..n;$$

Алгоритм обратного распространения ошибки BackProp:

Вход: $X^\ell = (x_i, y_i)_{i=1}^\ell \subset \mathbb{R}^n \times \mathbb{R}^M$; параметры H, λ, η ;

Выход: синаптические веса w_{jh}, w_{hm} ;

1: ...

Алгоритм BackProp

1: инициализировать веса w_{jh}, w_{hm} ;

2: **повторять**

3: выбрать объект x_i из X^ℓ (например, случайно);

4: прямой ход:

$$u_i^h := \sigma_h\left(\sum_{j=0}^J w_{jh} x_i^j\right), \quad h = 1..H;$$

$$a_i^m := \sigma_m\left(\sum_{h=0}^H w_{hm} u_i^h\right), \quad \varepsilon_i^m := a_i^m - y_i^m, \quad m = 1..M;$$

$$\mathcal{L}_i := \sum_{m=1}^M (\varepsilon_i^m)^2;$$

5: обратный ход:

$$\varepsilon_i^h := \sum_{m=1}^M \varepsilon_i^m \sigma'_m w_{hm}, \quad h = 1..H;$$

6: градиентный шаг:

$$w_{hm} := w_{hm} - \eta \varepsilon_i^m \sigma'_m u_i^h, \quad h = 0..H, \quad m = 1..M;$$

$$w_{jh} := w_{jh} - \eta \varepsilon_i^h \sigma'_h x_i^j, \quad j = 0..n, \quad h = 1..H;$$

7: $Q := (1 - \lambda)Q + \lambda \mathcal{L}_i$;

8: **пока** Q не стабилизируется;

Алгоритм BackProp: преимущества и недостатки

Преимущества:

- быстрое вычисление градиента;
- обобщение на любые σ , \mathcal{L} и любое число слоёв;
- возможно динамическое (потоковое) обучение;
- на сверхбольших выборках не обязательно брать все x_i ;
- возможно распараллеливание;

Недостатки — все те же, свойственные SG:

- возможна медленная сходимость;
- застревание в локальных минимумах;
- проблема «паралича сети» (горизонтальные асимптоты σ);
- проблема переобучения;
- подбор комплекса эвристик является искусством;

Стандартные эвристики для метода SG

Применимы те же эвристики, что и в обычном SG:

- инициализация весов (+ послойное обучение сети)
- порядок предъявления объектов
- адаптивные градиентные шаги
- диагональный метод Левенберга-Марквардта
- регуляризация L_2 или L_1
- выбивание из локальных минимумов (jogging of weights)
- chunking: разбиение суммы $\sum_i \mathcal{L}_i(w)$ на группы слагаемых

Новые проблемы связаны с выбором архитектуры сети:

- выбор числа слоёв и числа нейронов;
- выбор значимых связей;
- выбор функций активации в каждом нейроне.

Динамическое наращивание сети

- ➊ обучение при заведомо недостаточном числе нейронов H ;
- ➋ после стабилизации $Q(w)$ — добавление нового нейрона и его инициализация путём обучения
 - либо по случайной подвыборке $X' \subseteq X^\ell$;
 - либо по объектам с наибольшими значениями потерь;
 - либо по случайному подмножеству входов;
 - либо из различных случайных начальных приближений;
- ➌ снова итерации BackProp;

Эмпирический опыт: Общее время обучения обычно лишь в 1.5–2 раза больше, чем если бы в сети сразу было нужное количество нейронов. Полезная информация, накопленная сетью, не теряется при добавлении новых нейронов.

Прореживание сети (OBD – Optimal Brain Damage)

Пусть w — локальный минимум $Q(w)$, тогда $Q(w)$ можно аппроксимировать квадратичной формой:

$$Q(w + \delta) = Q(w) + \frac{1}{2} \delta^\top Q''(w) \delta + o(\|\delta\|^2),$$

где $Q''(w) = \left(\frac{\partial^2 Q(w)}{\partial w_{jh} \partial w_{j'h'}}\right)$ — гессиан, размера $(H(n+M+1)+M)^2$.

Эвристика. Пусть гессиан $Q''(w)$ диагонален, тогда

$$\delta^\top Q''(w) \delta = \sum_{j=0}^n \sum_{h=1}^H \delta_{jh}^2 \frac{\partial^2 Q(w)}{\partial w_{jh}^2} + \sum_{h=0}^H \sum_{m=0}^M \delta_{hm}^2 \frac{\partial^2 Q(w)}{\partial w_{hm}^2}.$$

Хотим обнулить вес: $w_{jh} + \delta_{jh} = 0$. Как изменится $Q(w)$?

Определение. Значимость (salience) веса w_{jh} — это изменение функционала $Q(w)$ при его обнулении: $S_{jh} = w_{jh}^2 \frac{\partial^2 Q(w)}{\partial w_{jh}^2}$.

Прореживание сети (OBD – Optimal Brain Damage)

- ➊ В BackProp вычислять вторые производные $\frac{\partial^2 Q}{\partial w_{jh}^2}$, $\frac{\partial^2 Q}{\partial w_{hm}^2}$.
- ➋ Если процесс минимизации $Q(w)$ пришёл в минимум, то
 - ➌ упорядочить все веса по убыванию S_{jh} ;
 - ➍ удалить N связей с наименьшей значимостью;
 - ➎ снова запустить BackProp.
- ➏ Если $Q(w, X^\ell)$ или $Q(w, X^k)$ существенно ухудшился, то вернуть последние удалённые связи и выйти.

Отбор признаков с помощью OBD — аналогично.

Суммарная значимость признака: $S_j = \sum_{h=1}^H S_{jh}$.

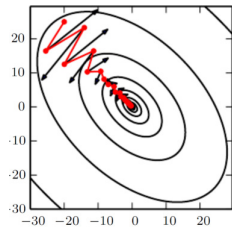
Эмпирический опыт: результат постепенного прореживания обычно лучше, чем BackProp изначально прореженной сети.

Метод накопления импульса (momentum)

Momentum — экспоненциальное скользящее среднее градиента по $\approx \frac{1}{1-\gamma}$ последним итерациям [Б.Т.Поляк, 1964]:

$$v := \gamma v + \eta \mathcal{L}'_i(w)$$

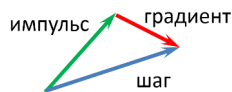
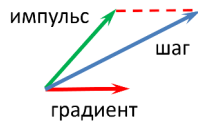
$$w := w - v$$



NAG (Nesterov's accelerated gradient) — стохастический градиент с импульсом Нестерова [1983]:

$$v := \gamma v + \eta \mathcal{L}'_i(w - \gamma v)$$

$$w := w - v$$



Адаптивные градиенты

RMSProp (*running mean square*) — адаптация скорости изменения весов, скользящим средним по $\approx \frac{1}{1-\alpha}$ итерациям:

$$G := \alpha G + (1 - \alpha) \mathcal{L}'_i(w) \odot \mathcal{L}'_i(w)$$
$$w := w - \eta \mathcal{L}'_i(w) \oslash (\sqrt{G} + \varepsilon)$$

где \odot и \oslash — покординатное умножение и деление векторов.

AdaDelta (*adaptive learning rate*) — двойная нормировка приращений весов, после которой можно брать $\eta = 1$:

$$G := \alpha G + (1 - \alpha) \mathcal{L}'_i(w) \odot \mathcal{L}'_i(w)$$
$$\delta := \mathcal{L}'_i(w) \odot \frac{\sqrt{\Delta} + \varepsilon}{\sqrt{G} + \varepsilon}$$
$$\Delta := \alpha \Delta + (1 - \alpha) \delta^2$$
$$w := w - \eta \delta$$

Комбинированные градиентные методы

Adam (adaptive momentum) = импульс + RMSProp:

$$\begin{aligned}v &:= \gamma v + (1 - \gamma) \mathcal{L}'_i(w) & \hat{v} &:= v(1 - \gamma^k)^{-1} \\G &:= \alpha G + (1 - \alpha) \mathcal{L}'_i(w) \odot \mathcal{L}'_i(w) & \hat{G} &:= G(1 - \alpha^k)^{-1} \\w &:= w - \eta \hat{v} \oslash (\sqrt{\hat{G}} + \varepsilon)\end{aligned}$$

Калибровка \hat{v} , \hat{G} увеличивает v , G на первых итерациях.

Рекомендация: $\gamma = 0.9$, $\alpha = 0.999$, $\varepsilon = 10^{-8}$

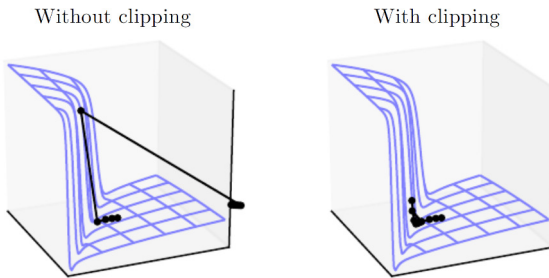
Nadam (Nesterov-accelerated adaptive momentum):
те же формулы для v , \hat{v} , G , \hat{G} ,

$$w := w - \eta \left(\gamma \hat{v} + \frac{1-\gamma}{1-\gamma^k} \mathcal{L}'_i(w) \right) \oslash (\sqrt{\hat{G}} + \varepsilon)$$

Timothy Dozat. Incorporating Nesterov Momentum into Adam. ICLR-2016.

Проблема взрыва градиента и эвристика gradient clipping

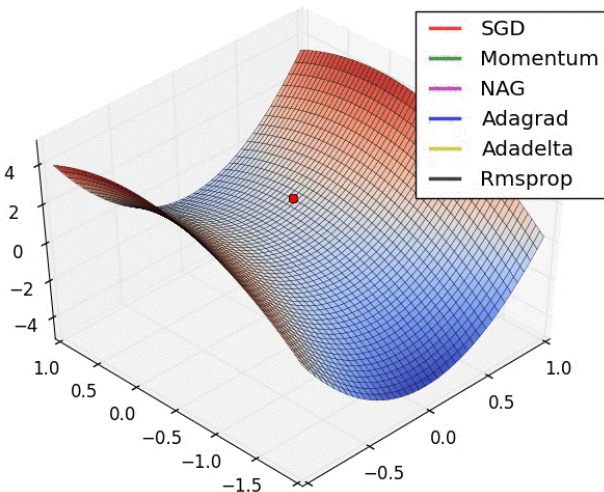
Проблема взрыва градиента (gradient exploding)



Эвристика Gradient Clipping:
если $\|g\| > \theta$ то $g := g\theta/\|g\|$

При грамотном подборе γ проблема взрыва градиента не возникает, и эвристика Gradient Clipping не нужна.

Сравнение сходимости методов



Alec Radford's animation: <http://cs231n.github.io/assets/nn3/opt1.gif>

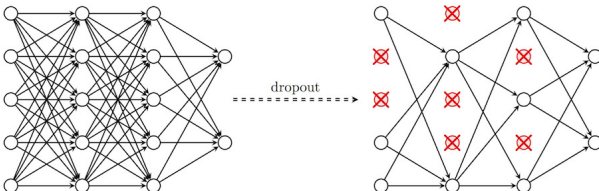
Метод случайных отключений нейронов (Dropout)

Этап обучения: делая градиентный шаг $\mathcal{L}_i(w) \rightarrow \min_w$,
отключаем h -ый нейрон ℓ -го слоя с вероятностью p_ℓ :

$$x_{ih}^{\ell+1} = \xi_h^\ell \sigma_h \left(\sum_j w_{jh} x_{ij}^\ell \right), \quad P(\xi_h^\ell = 0) = p_\ell$$

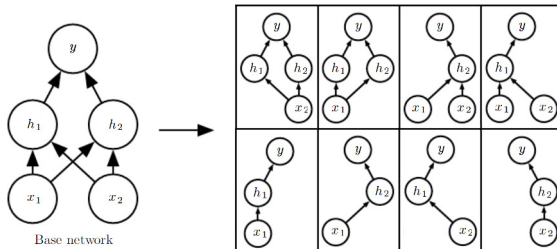
Этап применения: включаем все нейроны, но с поправкой:

$$x_{ih}^{\ell+1} = (1 - p_\ell) \sigma_h \left(\sum_j w_{jh} x_{ij}^\ell \right)$$



Интерпретации Dropout

- 1 аппроксимируем простое голосование по 2^N сетям с общим набором из N весов, но с различной архитектурой связей
- 2 регуляризация: из всех сетей выбираем более устойчивую к утрате pN нейронов, моделируя надёжность мозга
- 3 сокращаем переобучение, заставляя разные части сети решать одну и ту же исходную задачу вместо того, чтобы подстраивать их под компенсацию ошибок друг друга



Обратный Dropout и L_2 -регуляризация

На практике чаще используют не Dropout, а *Inverted Dropout*.

Этап обучения:

$$x_{ih}^{\ell+1} = \frac{1}{1-p_\ell} \xi_h^\ell \sigma_h \left(\sum_j w_{jh} x_{ij}^\ell \right), \quad P(\xi_h^\ell = 0) = p_\ell$$

Этап применения не требует ни модификаций, ни знания p_ℓ :

$$x_{ih}^{\ell+1} = \sigma_h \left(\sum_j w_{jh} x_{ij}^\ell \right)$$

L_2 -регуляризация предотвращает рост параметров на обучении:

$$\mathcal{L}_i(w) + \frac{\lambda}{2} \|w\|^2 \rightarrow \min_w$$

Градиентный шаг с Dropout и L_2 -регуляризацией:

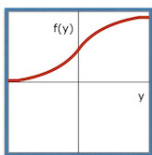
$$w := w(1 - \eta \lambda) - \eta \frac{1}{1-p_\ell} \xi_h^\ell \mathcal{L}'_i(w)$$

Функции активации ReLU и PReLU (LeakyReLU)

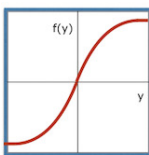
Функции $\sigma(y) = \frac{1}{1+e^{-y}}$ и $\text{th}(y) = \frac{e^y - e^{-y}}{e^y + e^{-y}}$ могут приводить к затуханию градиентов или «параличу сети»

Функция положительной срезки (rectified linear unit)

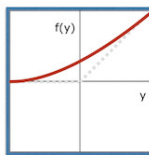
$$\text{ReLU}(y) = \max\{0, y\}; \quad \text{PReLU}(y) = \max\{0, y\} + \alpha \min\{0, y\}$$



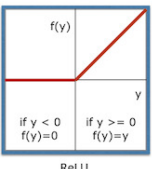
Sigmoid



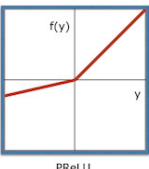
tanh



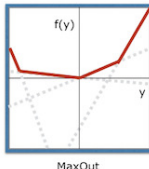
softplus



ReLU



PReLU



MaxOut

Расширение выборки (dataset augmentation)

Любые преобразования, не меняющие класс объекта

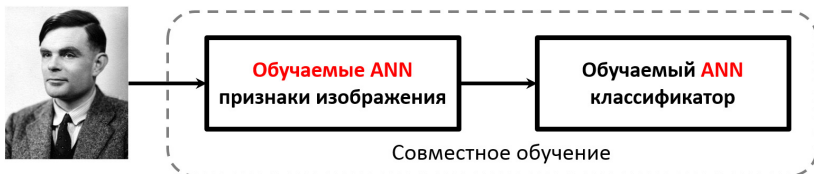


Классификация изображений

Классический подход к распознаванию изображений:



Современный подход — end-to-end deep learning:



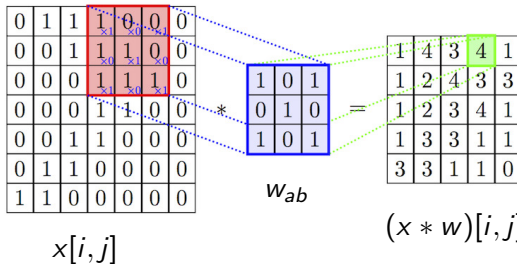
Свёрточный слой нейронов (convolution layer)

$x[i, j]$ — исходные признаки, пиксели $n \times m$ -изображения

w_{ab} — ядро свёртки, $a = -A, \dots, +A$, $b = -B, \dots, +B$

Неполносвязный свёрточный нейрон с $(2A+1)(2B+1)$ весами:

$$(x * w)[i, j] = \sum_{a=-A}^A \sum_{b=-B}^B w_{ab} x[i+a, j+b]$$



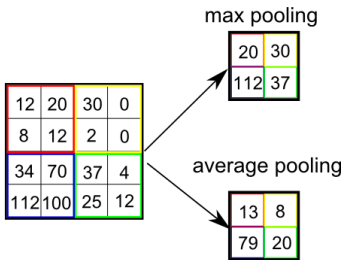
Объединяющий слой нейронов (pooling layer)

Объединяющий нейрон — это необучаемая свёртка с шагом $h > 1$, агрегирующая данные прямоугольной области $h \times h$:

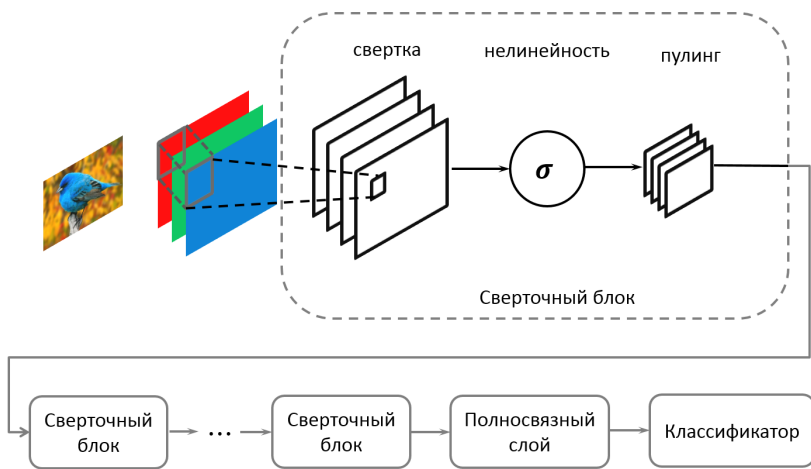
$$y[i, j] = F(x[hi, hj], \dots, x[hi + h - 1, hj + h - 1]),$$

где F — агрегирующая функция: max, average и т.п.

max-pooling позволяет обнаружить элемент в любой из ячеек

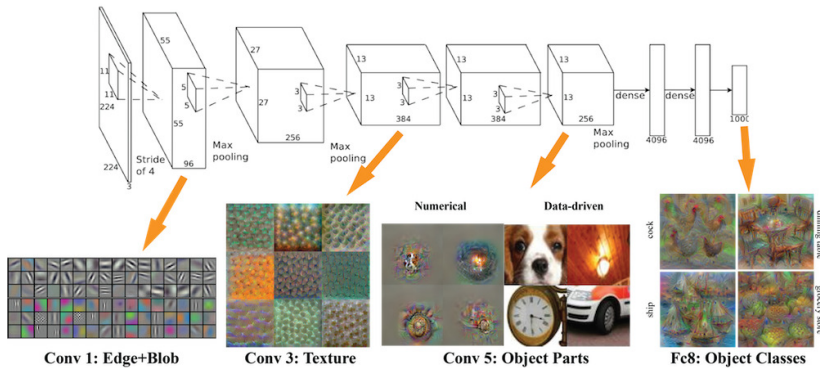


Стандартная схема сверточной сети (Convolutional NN)



Обучение иерархии признаков

Чем выше слой, тем более крупные и сложные элементы изображений он способен распознавать



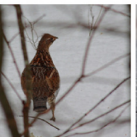
Выборка изображений ImageNet



flamingo



cock



ruffed grouse



quail



partridge

..



Egyptian cat



Persian cat



Siamese cat

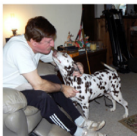


tabby



lynx

..



dalmatian



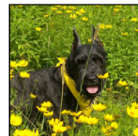
keeshond



miniature schnauzer

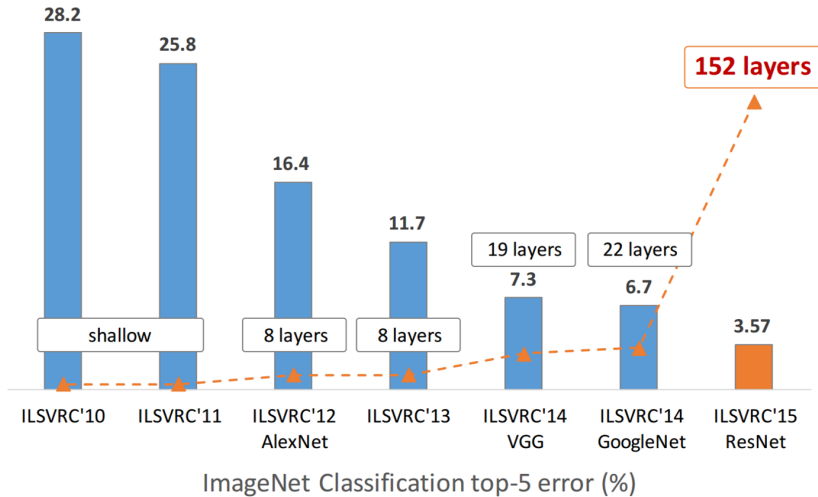


standard schnauzer

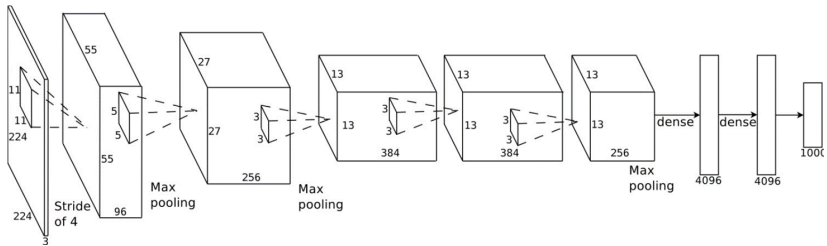


giant schnauzer

Развитие свёрточных сетей (краткая история ImageNet)



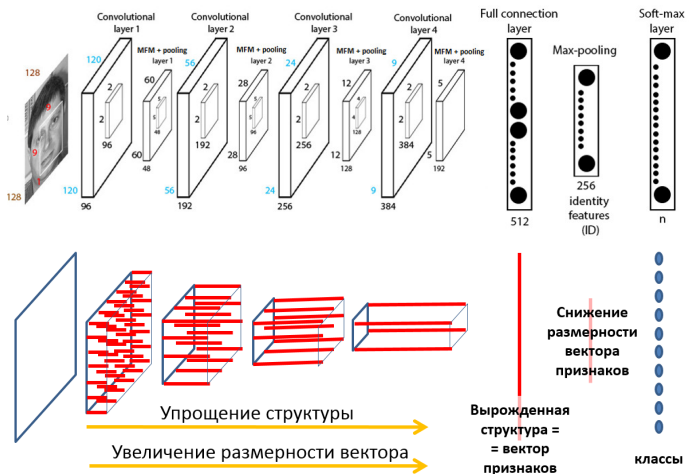
AlexNet: первый глубокий прорыв на ImageNet



- ReLU + Dropout + расширение выборки
- 60 млн параметров (в основном в полносвязных слоях)
- Подбор размеров фильтров и пулинга
- GPU

Krizhevsky A., Sutskever I., Hinton G. ImageNet Classification with Deep Convolutional Neural Networks. 2012.

Идея обобщения CNN на любые структурированные данные



Визильтер Ю.В., Горбацевич В.С. Структурно-функциональный анализ и синтез глубоких конволюционных нейронных сетей. ММРО-2017.

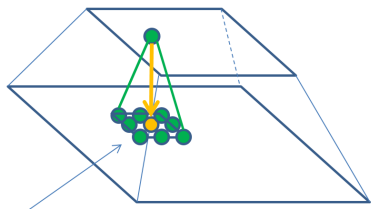
Идея обобщения CNN на любые структурированные данные

Допустим, каждый объект имеет структуру, заданную графом

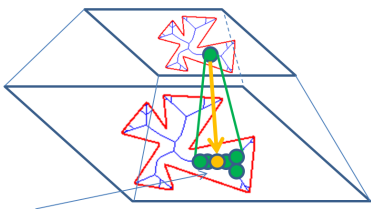
Свёртка определяется по локальной окрестности вершины

Пуллинг агрегирует векторы вершин локальной окрестности

Такая сеть обучится находить и классифицировать подграфы



Прямоугольное окно заданного размера с центром в заданной точке +
+ операция свёртки по окну



Локальная окрестность, определяемая для любой вершины графа +
+ операция свёртки по окрестности

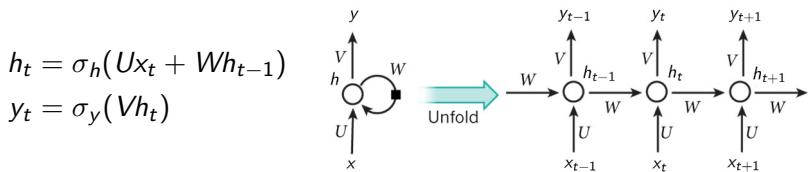
Задачи обработки последовательностей

x_t — входной вектор в момент t

h_t — вектор скрытого состояния в момент t

y_t — выходной вектор (в некоторых приложениях $y_t \equiv h_t$)

Разворачивание (unfolding) рекуррентной сети



Обучение рекуррентной сети:

$$\sum_{t=0}^T \mathcal{L}_t(U, V, W) \rightarrow \min_{U, V, W}$$

$\mathcal{L}_t(U, V, W) = \mathcal{L}(y_t(U, V, W))$ — потеря от предсказания y_t

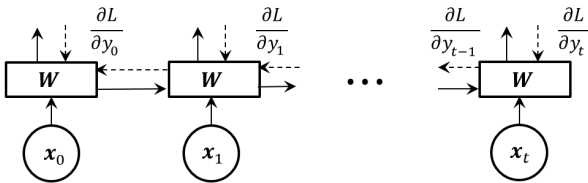
Возможности рекуррентных нейронных сетей

- Классификация текстов или их фрагментов
- Анализ тональности документа / предложений / слов
- Машинный перевод
- Распознавание речи
- Синтез речи
- Синтез ответов на вопросы, разговорный интеллект
- Генерация подписей к изображениям
- Генерация рукописного текста
- Интерпретация генома и другие задачи биоинформатики

Обучение рекуррентных сетей

Специальный вариант обратного распространения ошибок,
Backpropagation Through Time (BPTT)

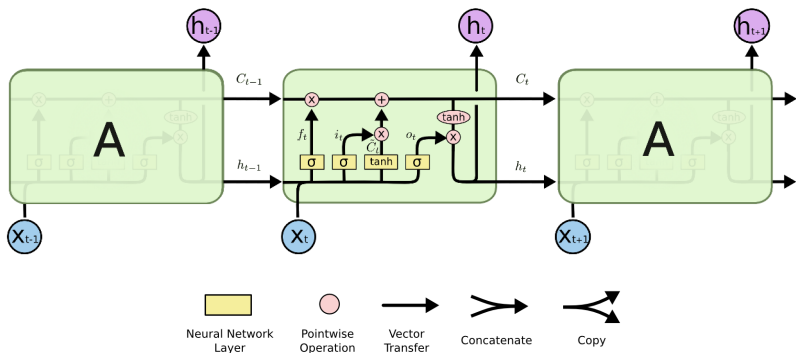
$$\frac{\partial \mathcal{L}_t}{\partial W} = \frac{\partial \mathcal{L}_t}{\partial y_t} \frac{\partial y_t}{\partial h_t} \sum_{k=0}^t \left(\prod_{i=k+1}^t \frac{\partial h_i}{\partial h_{i-1}} \right) \frac{\partial h_k}{\partial W}$$



Для предотвращения затухания и взрыва градиентов: $\frac{\partial h_i}{\partial h_{i-1}} \rightarrow 1$

Сети долгой кратковременной памяти (long short-term memory)

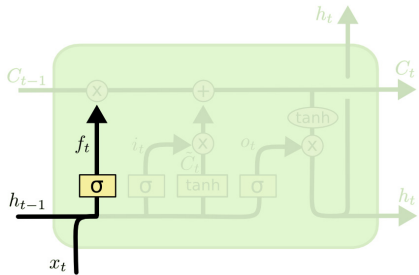
Мотивация LSTM: сеть должна долго помнить контекст, какой именно — сеть должна выучить сама.
Вводится C_t — вектор состояния сети в момент t .



Hochreiter S., Schmidhuber J. Neural Computation, 9(8), 1997

Greff K., Schmidhuber J. <http://arxiv.org/pdf/1503.04069.pdf>, 2015

Сети долгой кратковременной памяти (long short-term memory)



$$f_t = \sigma(W_f \cdot [h_{t-1}, x_t] + b_f)$$

$$i_t = \sigma(W_i \cdot [h_{t-1}, x_t] + b_i)$$

$$\tilde{C}_t = \tanh(W_C \cdot [h_{t-1}, x_t] + b_C)$$

$$C_t = f_t \odot C_{t-1} + i_t \odot \tilde{C}_t$$

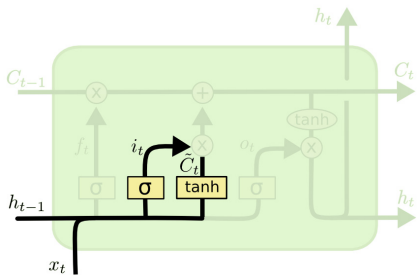
$$o_t = \sigma(W_o \cdot [h_{t-1}, x_t] + b_o)$$

$$h_t = o_t \odot \tanh(C_t)$$

Фильтр забывания (forget gate) с параметрами W_f , b_f решает, какие координаты вектора состояния C_{t-1} надо запомнить.

- ⊗ — операция покомпонентного перемножения векторов.

Сети долгой кратковременной памяти (long short-term memory)

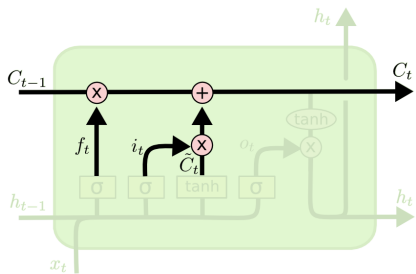


$$\begin{aligned}f_t &= \sigma(W_f \cdot [h_{t-1}, x_t] + b_f) \\i_t &= \sigma(W_i \cdot [h_{t-1}, x_t] + b_i) \\ \tilde{C}_t &= \text{th}(W_C \cdot [h_{t-1}, x_t] + b_C) \\ C_t &= f_t \odot C_{t-1} + i_t \odot \tilde{C}_t \\ o_t &= \sigma(W_o \cdot [h_{t-1}, x_t] + b_o) \\ h_t &= o_t \odot \text{th}(C_t)\end{aligned}$$

Фильтр входных данных (input gate) с параметрами W_i, b_i решает, какие координаты вектора состояния надо обновить.

Модель нового состояния с параметрами W_C, b_C формирует вектор \tilde{C}_t значений-кандидатов нового состояния.

Сети долгой кратковременной памяти (long short-term memory)

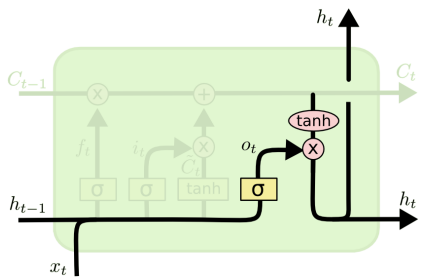


$$\begin{aligned}f_t &= \sigma(W_f \cdot [h_{t-1}, x_t] + b_f) \\i_t &= \sigma(W_i \cdot [h_{t-1}, x_t] + b_i) \\ \tilde{C}_t &= \tanh(W_C \cdot [h_{t-1}, x_t] + b_C) \\ C_t &= f_t \odot C_{t-1} + i_t \odot \tilde{C}_t \\ o_t &= \sigma(W_o \cdot [h_{t-1}, x_t] + b_o) \\ h_t &= o_t \odot \tanh(C_t)\end{aligned}$$

Новое состояние C_t формируется как смесь старого состояния C_{t-1} с фильтром f_t и вектора значений-кандидатов \tilde{C}_t с фильтром i_t .

Настраиваемых параметров нет.

Сети долгой кратковременной памяти (long short-term memory)

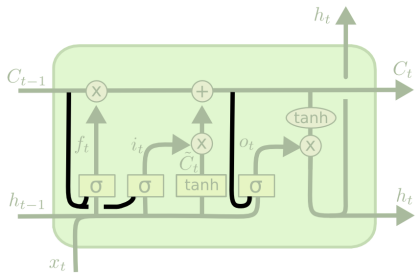


$$\begin{aligned}f_t &= \sigma(W_f \cdot [h_{t-1}, x_t] + b_f) \\i_t &= \sigma(W_i \cdot [h_{t-1}, x_t] + b_i) \\ \tilde{C}_t &= \text{th}(W_C \cdot [h_{t-1}, x_t] + b_C) \\ C_t &= f_t \odot C_{t-1} + i_t \odot \tilde{C}_t \\ o_t &= \sigma(W_o \cdot [h_{t-1}, x_t] + b_o) \\ h_t &= o_t \odot \text{th}(C_t)\end{aligned}$$

Фильтр выходных данных (output gate) с параметрами W_o , b_o решает, какие координаты вектора состояния C_t надо выдать.

Выходной сигнал h_t формируется из вектора состояния C_t с помощью нелинейного преобразования th и фильтра o_t .

Вариант LSTM с «замочными скважинами» (peepholes)



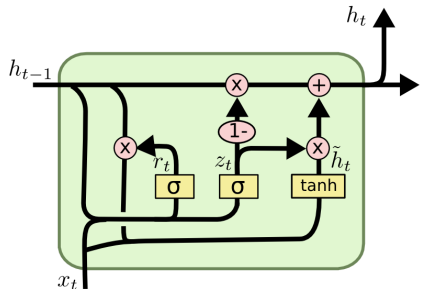
$$\begin{aligned}f_t &= \sigma(W_f \cdot [C_{t-1}, h_{t-1}, x_t] + b_f) \\i_t &= \sigma(W_i \cdot [C_{t-1}, h_{t-1}, x_t] + b_i) \\ \tilde{C}_t &= \text{th}(W_C \cdot [h_{t-1}, x_t] + b_C) \\ C_t &= f_t \odot C_{t-1} + i_t \odot \tilde{C}_t \\ o_t &= \sigma(W_o \cdot [C_t, h_{t-1}, x_t] + b_o) \\ h_t &= o_t \odot \text{th}(C_t)\end{aligned}$$

Все фильтры «подглядывают» вектор состояния C_{t-1} или C_t .

Увеличивается число параметров модели.

Замочную скважину можно использовать не для всех фильтров.

Упрощение LSTM: Gated Recurrent Unit (GRU)



$$z_t = \sigma(W_z \cdot [h_{t-1}, x_t])$$

$$r_t = \sigma(W_r \cdot [h_{t-1}, x_t])$$

$$\tilde{h}_t = \text{th}(W_h \cdot [r_t \odot h_{t-1}, x_t])$$

$$h_t = (1 - z_t) \odot h_{t-1} + z_t \odot \tilde{h}_t$$

Используется только состояние h_t , вектор C_t не вводится.

Фильтр обновления (update gate) вместо входного и забывающего.

Фильтр перезагрузки (reset gate) решает, какую часть памяти нужно перенести дальше с прошлого шага.

- Нейрон — линейная классификация или регрессия
- Нейронная сеть — суперпозиция нейронов с нелинейными функциями активации
- BackProp — быстрое дифференцирование суперпозиций
- Подбор архитектуры сети и эвристик — это искусство

С чем связана «революция глубокого обучения»

- Большие выборки + распараллеливание на GPU
- Продвинутые градиентные методы ускоряют сходимость
- Регуляризации и dropout предотвращают переобучение
- ReLU предотвращает затухание и взрыв градиентов
- Свёрточные сети: векторизация сложных структур данных
- Рекуррентные сети: механизмы памяти и принятия решений для анализа последовательностей векторов